

УДК 550.41:577.37: 553.492: 576.8

МЕТАБОЛИЧЕСКИЙ ДИЗАЙН И БИОМИМЕТИЧЕСКИЙ КАТАЛИЗ АРХАИЧЕСКОГО ХЕМОАВТОТРОФНОГО ЦИКЛА ФИКСАЦИИ CO₂

С.А. Маракушев, О.В. Белоногова

(Институт проблем химической физики РАН, 142432 Московская область, г. Черноголовка; e-mail: marak@cat.icp.ac.ru)

На основе современных метаболических путей филогенетически древних *Bacteria* и *Archaea* предложен новый биомиметический дизайн архаической хемоавтотрофной фиксации CO₂ (CO₂ archaic fixation – CAF). Конкуренция между архаическими циклами фиксации CO₂ в составе CAF-цикла должна обуславливать естественный химический отбор циклов в гидротермальных условиях древней Земли. Рассмотрены физико-химические условия формирования активированных тиоэфиров типа CH₃CO~SCH₃ (аналоги ацетил-коэнзима А), активирующих интермедиаты циклов фиксации CO₂.

Ключевые слова: хемоавтотрофная фиксация CO₂, автокатализитические циклы, химический естественный отбор, углеводороды, биомиметический минеральный катализ, химический потенциал, алкилтиоэфиры органических кислот.

Существуют четыре главных пути фиксации двуокиси углерода: цикл Кальвина–Бенсона–Бассама (КББ) (восстановительный пентозофосфатный цикл), восстановительный цитратный (ВЦ) цикл (цикл Арнона), 3-гидроксипропионатный (3-ГП) цикл и восстановительный ацетил-коэнзим А (АКА) путь (путь Вуда–Люнгдала). В последнее время в архейском субдомене *Crenarchaeota* выявлены еще два пути – 3-гидроксипропионатный/4-гидроксибутиратный (3-ГП/4-ГБ)-цикль, являющийся аналогом 3-ГП-цикла, и восстановительный дикарбоксилатный/4-гидроксибутиратный (ВД/4-ГБ) цикл [1–4]. Энергетически затратный КББ-цикль, встречающийся только в бактериях и эукариотах, и АКА-путь осуществляют фракционирование стабильных изотопов углерода с высокими значениями δ¹³C, что свидетельствует об их более высоком эволюционном развитии и в данной работе не рассматриваются. Согласно теории хемоавтотрофного происхождения архаического метаболизма [5–8], мы предложили модель зарождения и самоорганизации архаической хемоавтотрофной системы фиксации CO₂ в виде сопряженных между собой циклов (ВЦ и 3-ГП) в парагенезисе с углеводородами как источниками углерода для интермедиатов цикла в гидротермальном геохимическом окружении древней Земли [9, 10].

Биомиметический архаический комбинаторный цикл

Циклы 3-ГП/4-ГБ и ВД/4-ГБ совместно с циклами ВЦ и 3-ГП представляют собой автокатализическую систему реакционных путей, комбинация частей кото-

рых создает конкретные автотрофные системы фиксации CO₂ (HCO₃⁻) в экстремофильных прокариотах, сокращенная схема которых, согласно [2], с добавлением всех реакций фиксации CO₂ в циклах представлена на рис. 1. При комбинации метаболических элементов этой конструкции происходит формирование различных метаболических циклов: I + IV создает 3-ГП/4-ГБ, I + V – 3-ГП, II + VI – ВЦ и III + IV – ВД/4-ГБ-циклы.

Комбинация путей	I + IV	I + V	II + VI	III + IV
Цикл	3-ГП/4-ГБ	3-ГП	ВЦ	ВД/4-ГБ

В принципе, возможны и другие комбинации этих шести специфических путей (I, II, III, VI, V, VI), что следует из диверсификации, наблюдаемой в других архейских метаболических путях трансформации соединений углерода [11]. Очевидно, что наиболее эффективна комбинация III и VI путей с ассимиляцией трех молекул CO₂ и одной молекулы HCO₃⁻, представляющая собой ВЦ-цикль, дополненный этапами карбоксилирования ацетил-СоА до пирувата и фосфоенолпируват до оксалоацетата, биомиметическая модель которого рассмотрена нами в работах [9, 10]. Важнейшая особенность стратегии развития этих четырех хемолитотрофных путей ассимиляции неорганического углерода – трансформация сукцинил-СоА в ацетил-СоА, и наоборот. Циклы 3-ГП и 3-ГП/4-ГБ абсолютно тождественны на важнейших этапах карбоксилирования ацетил-СоА и пропионил-СоА

(рис. 1), осуществляемого универсальным ферментом ацетил-СоА-пропионил СоА карбоксилазой. Как следует из рис. 1, только в цикле ВЦ происходит карбоксилирование сукцинил-СоА, тогда как в остальных трех циклах осуществляется карбоксилирование ацетил-СоА, что обуславливает принципиальное различие этих систем. Рассматривая составы этих четырех метаболических путей как термодинамическую систему С–Н–О и учитывая описанные выше последние биохимические данные, можно представить (рис. 2) усовершенствованную обобщенную гипотетическую схему архаической фиксации CO_2 (CO_2 archaic fixation cycle – CAF-цикл). Для упрощения в эту схему не включены стадии последовательной изомеризации (изоцитрат–аконитат–цитрат (ВЦ-цикл), метилмалонат–сукцинат (3-ГП-цикл) и метилмалонат–4-гидроксибутират–кетонат–3-гидроксибутират–ацетоацетат (3-ГП/4-ГБ- и ВД/4-ГБ-циклы)), представляющие собой последние ступени регенерации циклов. Поэтому путь регенерации, приводящий к удвоению архаических циклов 3-ГП/4-ГБ и ВД/4-ГБ, представлен реак-

цией $(\text{CH}_2)_2(\text{COOH})_2 + \text{H}_2 = \text{CH}_3\text{COCH}_2\text{COOH}$ (ацетоацетат) + $\text{H}_2\text{O} = 2\text{CH}_3\text{COOH}$ (ацетат). Цикл ВД/4-ГБ имеет общее с ВЦ-циклом звено (оксалоацетат \rightarrow малат \rightarrow фумарат \rightarrow сукцинатное) с одинаковой последовательностью реакций. В 3-ГП-цикле последовательность реакций противоположна (сукцинат \rightarrow фумарат \rightarrow малат). В результате фиксации двух молекул CO_2 один оборот циклов ВЦ, 3-ГП/4-ГБ и ВД/4-ГБ приводит к образованию одной молекулы ацетата, а оборот 3-ГП-цикла – к молекуле глиоксилата. Таким образом, CAF-цикл, развиваясь в восстановительном направлении, приводит к удвоению компонентов цикла из абиогенного CO_2 и электронов (H_2), и это свойство определяет цикл как автокатализическую сеть [6, 7]. Эти комбинированные восстановительные циклы проявляются на уровне биосинтетической автокатализической сети, являющейся самоподдерживающимся устойчивым к внешним воздействиям механизмом для синтеза всех биохимических предшественников. Ядро цикла $(\text{CH}_2)_2(\text{COOH})_2 + \text{H}_2 = (\text{CH}_2)_2(\text{COOH})_2^-$ является «редокс-переключателем»

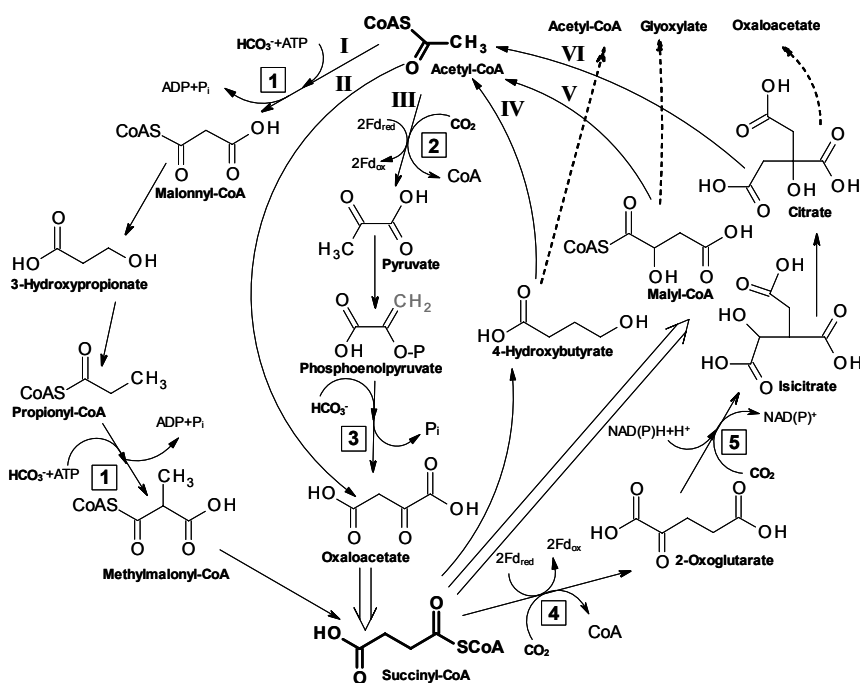


Рис. 1. Общая модифицированная схема, по данным [2], представляющая возможные варианты развития четырех хемоавтотрофных путей фиксации CO_2 (восстановительный цитратный (ВЦ), 3-Гидроксипропионатный (3-ГП), 3-Гидроксипропионатный/4-гидроксибутиратный (3-ГП/4-ГБ) и восстановительный дикарбоксилатный/4-гидроксибутиратный (ВД/4-ГБ) циклы). Римскими цифрами обозначены последовательности реакций циклов, комбинацией которых создаются полные циклы фиксации CO_2 . Пунктирными линиями обозначены продукты CO_2 фиксации, высвобождаемые этими циклами. Цифрами в квадратах обозначаются конкретные реакции карбоксилирования, осуществляемые ферментами: 1. Ацетил-СоА/Пропионил-СоА карбоксилаза (EC: 6.3.4.15 2.7.1.33); 2. Пируват синтаза (EC: 1.2.7.1); 3. Фосфоенолпириват карбоксилаза (EC: 4.1.1.31); 4. 2-Оксоглутарат: ферредоксин оксидоредуктаза (EC: 1.2.7.3); 5. Изоцитрат дегидрогеназа (EC: 1.1.1.42). Пустая стрелка от оксалоацетата до сукцинил-СоА обозначает общую последовательность реакций малат \rightarrow фумарат \rightarrow сукцинат для ВЦ- и ВД/4-ГБ-циклов. Пустая стрелка от сукцинил-СоА до малил-СоА обозначает обратную последовательность реакций сукцинат \rightarrow фумарат \rightarrow малат

лем», отвечающим определенным редокс-условиям гидротермального окружения и определяющим выбор направления потока электронов. В зависимости от величины химического потенциала водорода реакции в CAF-цикле пойдут в направлении циклов 3-ГП или ВЦ (ВД/4-ГБ), а конкуренция между ними создает устойчивость всего CAF-цикла к изменению редокс-условий в гидротермальной системе и возможности его дальнейшего развития. Ацетат и сукцинат – центральные анаэроботические интермедиаты всех четырех архаических хемоавтотрофных циклов (рис. 2), вступающие в реакции фиксации CO_2 . Ацетат карбоксилируется с образованием малоната (циклы 3-ГП, 3-ГП/4-ГБ) и пирувата (цикл ВД/4-ГБ), а сукцинат – с образованием 2-оксоглутарата (ВЦ-цикл). Очевидно, что увеличение концентрации субстратов этих реакций в результате окисления углеводородных гидротермальных флюидов будет сдвигать равновесие этих реакций вправо, приводя к внедрению атома углерода в состав молекул сукцината и ацетата. Эти реакции фиксации CO_2 как инициирующие запускают автокаталитические циклы. Конкуренция между архаическими хемоавтотрофными циклами в составе CAF-цикла

в различных физико-химических условиях древней Земли должна была приводить к химическому естественному отбору.

Энергетика CAF-цикла

В представленной биомиметически построенной системе восстановительный потенциал обеспечивается реакциями с молекулярным водородом. В современных метаболических системах водород переносится не прямым образом, а при участии гидрид-переносчиков, подобно НАДН*, а на первых стадиях происхождения жизни перенос водорода мог осуществляться прямым переносом или посредством таких гидрид-переносчиков, как тиолы или хиноны. Независимо от способа водородного переноса его энергия и направление определяются двухэлектронным восстановительным потенциалом пар компонентов CAF-цикла. Значения свободной энергии Гиббса ключевых реакций CAF-цикла в стандартных условиях ($P = 1$ бар, $T = 298$ К) приведены в таблице.

В гидротермальных системах отсутствие ферментов в CAF-цикле компенсируется каталитическим паргенезисом минералов [15], в ряде случаев биоми-

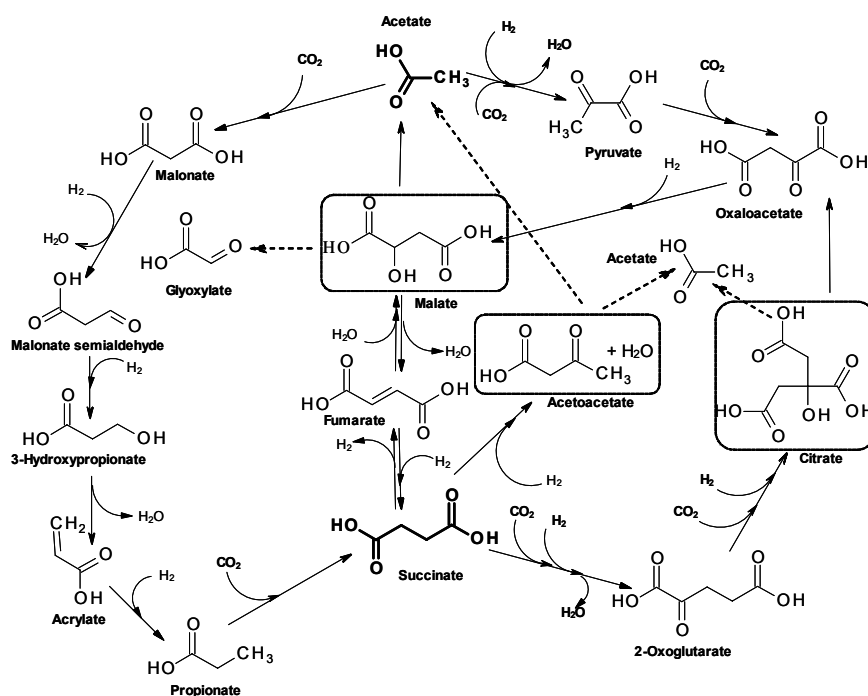


Рис. 2. Предлагаемая схема архаической хемоавтотрофной фиксации CO_2 (CAF-цикл), рассматриваемая как термодинамическая система C–H–O, биомиметически моделирующая все четыре, представленные на рис. 1, циклы. Вместо бикарбонат иона приведены молекулы CO_2 . Пунктирные линии обозначают продукт, высвобождающийся после одного оборота цикла; метаболиты, завершающие циклы, обведены: малат распадается на ацетат и глиоксилат (3-ГП-цикл), цитрат – на оксалоацетат и ацетат (ВЦ-цикл), ацетоацетат + H_2O – на два ацетата (циклы 3-ГП/4-ГБ и ВД/4-ГБ)

* Никотинамидадениндинуклеотид.

Свободные энергии Гиббса реакций циклов ВЦ, ВД/4-ГБ, 3-ГП и 3-ГП/4-ГБ (рис. 2) в водных растворах по константам, приведенным в работах [12–14]. Жирным шрифтом выделены реакции распада циклов, жирным курсивом – суммарные реакции циклов

Ключевые реакции архаических ВЦ + ВД/4-ГБ-циклов	ΔG^0_{298} , кДж/моль
$\text{CH}_3\text{COOH(ацетат)} + \text{CO}_2 + \text{H}_2 = \text{CH}_3(\text{CO})\text{COOH(пируват)} + \text{H}_2\text{O}$	25,96
$\text{CH}_3(\text{CO})\text{COOH(пируват)} + \text{CO}_2 + \text{H}_2 = \text{CH}_2\text{CO}(\text{COOH})_2\text{(оксалоацетат)}$	-217,88
$\text{CH}_2\text{CO}(\text{COOH})_2\text{(оксалоацетат)} + \text{H}_2 = \text{CH}_2\text{CH(OH)(COOH)}_2\text{(малат)}$	-65,23
$\text{CH}_2\text{CH(OH)(COOH)}_2\text{(малат)} = (\text{CH})_2(\text{COOH})_2\text{(фумарат)} + \text{H}_2\text{O}$	3,49
$(\text{CH})_2(\text{COOH})_2\text{(фумарат)} + \text{H}_2 = (\text{CH}_2)_2(\text{COOH})_2\text{(сукцинат)}$	-106,4
$(\text{CH}_2)_2(\text{COOH})_2\text{(сукцинат)} + \text{CO}_2 + \text{H}_2 = (\text{CH}_2)_2\text{CO}(\text{COOH})_2\text{(2-оксоглутарат)} + \text{H}_2\text{O}$	23,74
$(\text{CH}_2)_2\text{CO}(\text{COOH})_2\text{(2-оксоглутарат)} + \text{CO}_2 + \text{H}_2 = (\text{CH}_2)_2\text{C(OH)(COOH)}_3\text{(цитрат)}$	-27,59
$(\text{CH}_2)_2\text{C(OH)(COOH)}_3\text{(цитрат)} = \text{CH}_2\text{CO}(\text{COOH})_2\text{(оксалоацетат)} + \text{CH}_3\text{COOH(ацетат)}$	2,61
$2\text{CO}_2 + 4\text{H}_2 = \text{CH}_3\text{COOH(ацетат)} + 2\text{H}_2\text{O}$	-169,38
Ключевые реакции архаических 3-ГП + 3-ГП/4-ГБ-циклов	ΔG^0_{298} , кДж/моль
$\text{CH}_3\text{COOH(ацетат)} + \text{CO}_2 = \text{CH}_2(\text{COOH})_2\text{ (малонат)}$	48,11
$\text{CH}_2(\text{COOH})_2\text{ (малонат)} + 3\text{H}_2 = \text{CH}_3\text{CH}_2\text{COOH(пропионат)} + 2\text{H}_2\text{O}$	-184,09
$\text{CH}_3\text{CH}_2\text{COOH(пропионат)} + \text{CO}_2 = (\text{CH}_2)_2(\text{COOH})_2\text{(сукцинат)}$	32,60
$(\text{CH}_2)_2(\text{COOH})_2\text{(сукцинат)} = (\text{CH})_2(\text{COOH})_2\text{(фумарат)} + \text{H}_2$	106,40
$(\text{CH})_2(\text{COOH})_2\text{(фумарат)} + \text{H}_2\text{O} = \text{CH}_2\text{CH(OH)(COOH)}_2\text{(малат)}$	-3,49
$\text{CH}_2\text{CH(OH)(COOH)}_2\text{ (малат)} = \text{CH}_3\text{COOH(ацетат)} + \text{OCH-COOH (глиоксилат)}$	14,51
$2\text{CO}_2 + 2\text{H}_2 = \text{OCH-COOH(глиоксилат)} + \text{H}_2\text{O}$	14,04
$2\text{CO}_2 + 4\text{H}_2 = \text{CH}_3\text{COOH(ацетат)} + 2\text{H}_2\text{O}$	-169,38

метически сходным с железо-серными кластерами некоторых ферментов современных путей фиксации (фумарат-редуктаза, CO-дегидрогеназа и др.). Такие минеральные темплат-подобные структуры способны адсорбировать реагенты и таким образом уменьшать энтропийный фактор химических реакций. На рис. 3 приведена диаграмма химических потенциалов кислорода и сероводорода, на которой показаны области термодинамической устойчивости (фации) минералов молибдена, вольфрама, ванадия, никеля и железа в газовой фазе при 500°C. Все моновариантные равновесия являются окислительно-восстановительными буферами, определяющими редокс-обстановку окружающей среды. Так молибденовые и вольфрамовые

равновесия соответствуют восстановительным условиям, тогда как ванадиевое равновесие



как и область устойчивости метастабильного грейгита (рис. 3, Fe_3S_4 , пунктирные линии), определяют высоко окислительные условия.

Основной реакцией инициации фиксации CO_2 считается реакция синтеза тиоэфира ацетата (аналога ацетил-СоА) из CO и H_2S в геохимическом гидротермальном окружении [17]. В экспериментах, моделирующих реакции восстановительных путей при высоких гидротермальных температурах, показано, что водная суспензия соосажденных NiS и FeS транс-

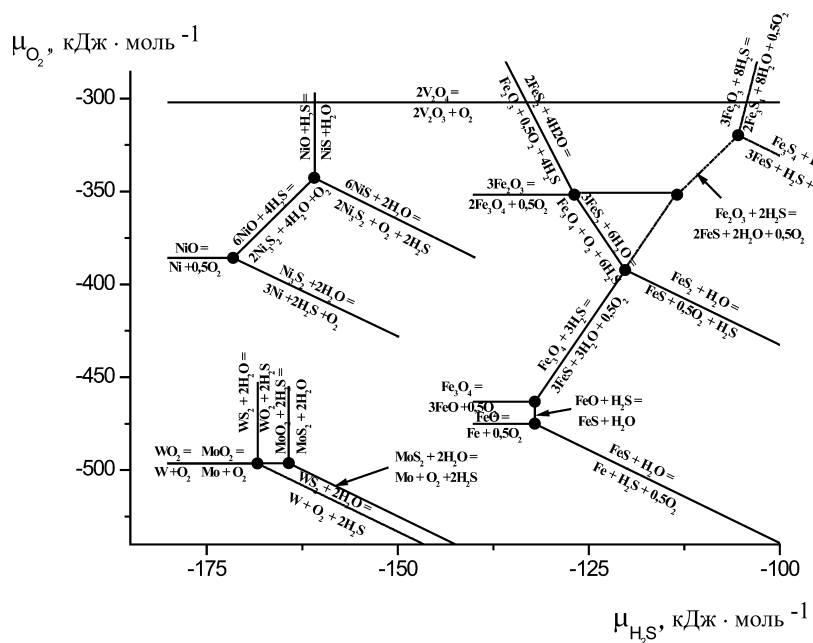
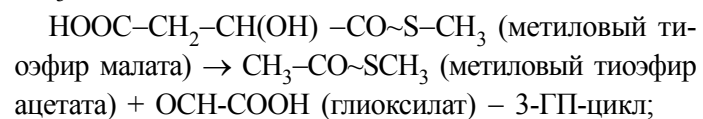
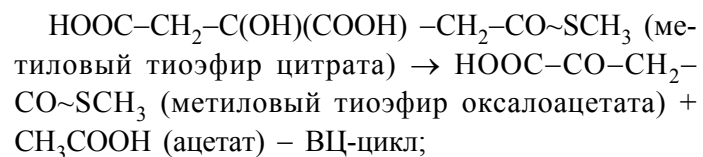


Рис. 3. Фазовая диаграмма, показывающая стабильность минералов молибдена, вольфрама, ванадия, железа и никеля, как функция химических потенциалов кислорода и сероводорода при температуре 500°C и давлении 1 атм (по константам [16]). Точки представляют собой нонвариантные равновесия, тогда как линии – моновариантные равновесия, разделяющие дивариантные поля устойчивости минералов. FeO – виостит, Fe₂O₃ – гематит, Fe₃O₄ – магнетит, FeS₂ – пирит, FeS – пирротин, Fe₃S₄ – грейгит, NiO – бунзенит, NiS – миллерит, Ni₃S₂ – хэзльвудит, V₂O₃ – карелионит, V₂O₄ – тетраокись диванадия, MoO₂ – двуокись молибдена, MoS₂ – молибденит, WO₂ – двуокись вольфрама, WS₂ – тугстенит

формирует CO и CH₃SH в активированный тиоэфир CH₃CO~SCH₃ [18]. Тем не менее, по нашему мнению, существует более обоснованный путь образования активированных тиоэфиров органических кислот. На рис. 4 приведена фазовая диаграмма химических потенциалов кислорода и сероводорода, демонстрирующая трансформацию углеводородов в алкилтиолы и тиоацетат. В отличие от монооксида углерода, углеводороды, как и молекулярный водород, являются более типичными представителями щелочных гидротермальных глубоководных источников [21, 22], создаваемых щелочным уклоном магматизма [23]. На диаграмме C–O–H–S показано (рис. 4), что алкены (этилен) трансформируются в алкилтиолы по реакциям $nC_2H_4 + H_2S = C_{2n}H_{2n+1}SH$, и эта фазия алкилтиолов коррелирует с фазией пирротина (FeS), миллерита (NiS) и хэзльвудита (Ni₃S₂) (см. рис. 3). Фазия ацетилтиола в парагенезисе с этаном образуется при более высоком окислительном потенциале и соответствует фазии Ni₃S₂ и FeS₂ (пирит). Образование активированных тиоэфиров типа CH₃CO~SCH₃ в связи с отсутствием для них доступных термодинамических констант невозможно представить на этой диаграмме. Однако, согласно

принципу диаграмм химических потенциалов, фазия метилового тиоэфира ацетата (CH₃CO~SCH₃) относительно фазии ацетилтиола располагается при более низких значениях химических потенциалов O₂ и H₂S (рис. 5) и будет находиться в фазиях низковалентных сульфидов никеля и железа (см. рис. 3, 4). Таким образом, в сульфидных вулканических источниках полностью решается проблема образования тиоэфиров органических кислот и частично проблема энергетики цикла. Дополнительными источниками энергии могут являться реакции гидролиза макроэнергических связей пирофосфата $\Delta G'_0 = -20$ кДж моль⁻¹ [24] или ацетил фосфата $\Delta G'_0 = -43$ кДж моль⁻¹ [8], сопряженные с реакциями циклов.

Таким образом, важнейшими реакциями, связывающими линейные реакции в катализитические циклы, являются:



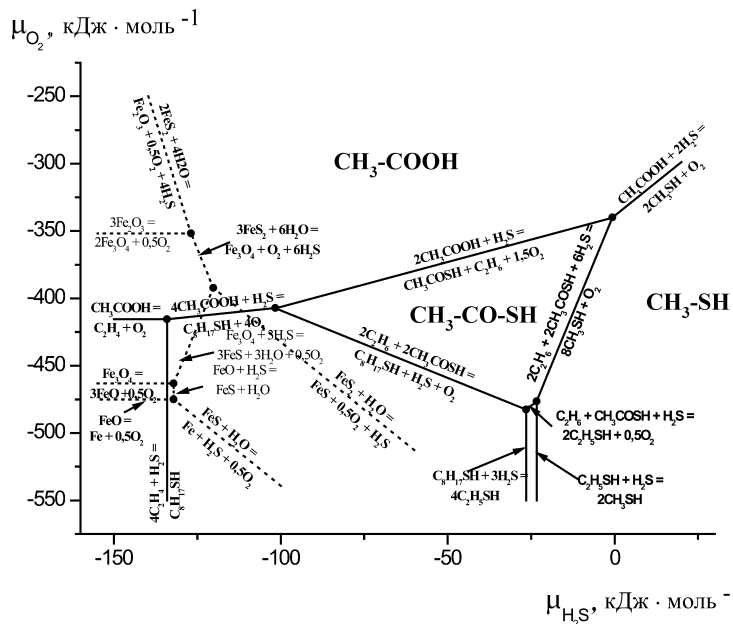


Рис. 4. Фазовая диаграмма C-H-O-S системы как функция химических потенциалов кислорода и сероводорода при 500°C (по константам [19, 20]), демонстрирующая газофазную трансформацию углеводородов (этилен, этан) в алкилтиоацетаты, ацетат и тиоацетат. Пунктирными линиями нанесена система Fe—H—O—S (обозначения на рис. 3)

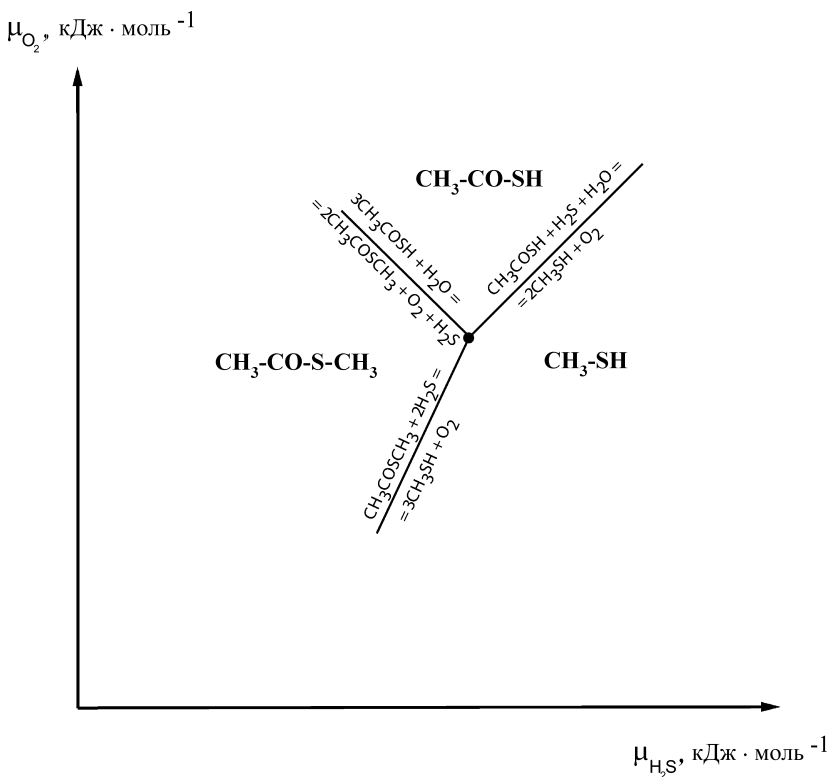


Рис. 5. Фации метилтиола (CH_3SH), тиоацетата (CH_3COSH) и макроэнергического тиоэфира $CH_3CO-SCH_3$ в фазовом пространстве химических потенциалов кислорода (μ_{O_2}) и сероводорода (μ_{H_2S})

$CH_3-CO-CH_2-CO-SCH_3$ (метиловый тиоэфир ацетоацетата) $+H_2O \rightarrow CH_3-CO-SCH_3$ (метиловый тиоэфир ацетата) $+ CH_3COOH$ (ацетат) — циклы 3-ГП/4ГБ и ВД/4-ГБ.

Метиловые тиоэфиры оксалоацетата и ацетата являются катализаторами, способствующими образованию интермедиатов CAF-цикла (см. рис. 2). Эта каталитическая квазистационарная система (согласно

[25]) превращается в автокаталитическую, если продукты реакций становятся или катализаторами или катализитическими интермедиатами. Когда продукты синтезируемого из углеводородов анаплеротического материала для циклов (ацетат и сукцинат, согласно

[10]) находятся в избытке, все компоненты этих автокаталитических систем развиваются экспоненциально, что вычленяет рассматриваемую автокаталитическую систему из окружающей среды и приводит к ее автономности.

Работа выполнена при финансовой поддержке Президиума РАН (программа фундаментальных исследований № 24, подпрограмма 1: «Происхождение биосфера и эволюция гео-биологических систем»).

СПИСОК ЛИТЕРАТУРЫ

1. Berg I.A., Kockelkorn D., Buckel W., Fuchs G. // Science. 2007. **318**, P. 1782.
2. Huber H., Gallenberger M., Jahn U. et.al. // Proc. Natl. Acad. Sci. USA. 2008. **105**. P.7851.
3. Teufel, R., Kung, J.W., Kockelkorn, D. et.al. // J.Bacteriol. 2009. **191**, N 14. P. 4572.
4. Ramos-Vera H.W., Berg I.A., Fuchs G. // J. Bacteriol. 2009. **191**, N 13. P. 4286.
5. Wachtershauser G. // Proc. Nat. Acad. Sci. USA. 1990. **87**. P. 200.
6. Morowitz H.G. // Complexity. 1999. **4**, N 6. P. 39.
7. Smith E., Morowitz H.G. // Proc. Nat. Acad. Sci. USA. 2004. **101**, N 36. P. 13168.
8. Martin W., Russell M.J. // Phil. Trans. R. Soc. Lond. B. 2007. **362**. P. 1887.
9. Маракушев С.А. // Доклады РАН. 2008. **418**, № 3. С. 412.
10. Marakushev S. A., Belonogova O. V. // J. Theoret. Biol. 2009. **257**. P. 588.
11. Verhees C.H., Kengen S.W.M., Tuininga J. E., et.al. // Biochem. J. 2003. **375**. P. 231.
12. Miller S., Smith-Magowan D. // J. Phys. Chem. Ref. Data. 1990. **19**, N 4. P. 1049.
13. Mavrovouniotis M. L. // J. Biol. Chem. 1991. **266**, N 22. P. 14440.
14. Amend, J.P., Shock, E.L. // FEMS Microbiol. Rev. 2001. **25**. P. 175.
15. Cody G.D., Boctor N.Z., Brandes J.A. et al. // Geochim. Cosmochim. Acta. 2004. **68**. P. 2185.
16. Robie R.A., Hemingway B.S. Thermodynamic Properties Substances at 298.15 K and 1 Bar (105 Pascals) Pressure and Higher Temperatures. US Geological Survey Bulletin. 1995. Washington.
17. Heinen W., Lauwers A. M. // Orig. Life Evol. Biosph. 1996. **26**. P. 131.
18. Huber C., Wachtershauser G. // Science. 1997. **276**. P. 245.
19. Stull D.R., Westram E.F., Sinke G.C. The chemical thermodynamics of organic compounds. N.Y.; L., Sydney, Toronto, 1969.
20. Карапетьянц М.Х., Карапетьянц М.Л. Основные термодинамические константы неорганических и органических веществ. М., 1968.
21. Proskurowski G., Lilley M.D., Seewald J.S. et al. // Science. 2008. **319**. P. 604.
22. Konn C., Charlou J.L., Donval J.P. et al. // Chemical Geology. 2009. **258**. P. 299.
23. Marakushev A.A., Marakushev S.A. // Lithol. Miner. Res. 2008. **43**. С. 454.
24. Baltscheffsky H. Chemical Evolution and the Origin of Life. Amsterdam, 1971. P. 466.
25. Lindahl P.A. // Orig. Life Evol. Biosph. 2004. **34**. P. 371.

Поступила в редакцию 20.01.10

METABOLIC DESIGN AND BIOMIMETIC CATALYSIS OF ARCHAIC CHEMOAUTOTROPHIC CO₂ FIXATION CYCLE

S.A. Marakushev, O.V. Belonogova

(Institute of problem of chemical physics RAS, Chernogolovka, Moscow region)

On the base of Bacteria and Archaea contemporary metabolic pathways, which have an ancient phylogenetic roots, a new biomimetic design of archaic autocatalytic chemoautotrophic cycle of CO₂ fixation (CAF cycle) was proposed. The competition between archaic chemoautotrophic cycles inside of CAF cycle should lead to chemical natural selection of cycles in hydrothermal conditions of the ancient Earth. Physical and chemical conditions of formation activated thioesters of CH₃CO~SCH₃ type (analogues acetyl-coenzyme A), activating of assimilation CO₂ fixation cycles intermediates are considered.

Key words: chemoautotrophic CO₂ fixation, autocatalytic cycles, chemical natural selection, hydrocarbons, biomimetic mineral catalysis, chemical potentials, organic acid alkylthioethers.

Сведения об авторах: Маракушев Сергей Алексеевич – вед. науч. сотр. лаб. радиоспектрометрии макромолекул Института проблем химической физики РАН, докт. биол. наук (marak@cat.icp.ac.ru); Белоногова Ольга Васильевна – науч. сотр. лаб. радиоспектрометрии макромолекул Института проблем химической физики РАН, канд. хим. наук (ovbel@icp.ac.ru).